

Báo cáo bài tập lớn môn xử lý ngôn ngữ tự nhiên

Nguyễn Văn Hòa
23021556@vnu.edu.vn

Nguyễn Bích Đạt
23021520@vnu.edu.vn

Nguyễn Thế Hùng
23021568@vnu.edu.vn

Lê Văn Tuấn
23021705@vnu.edu.vn

Tóm tắt nội dung

Hiện nay, kiến trúc Transformer với cơ chế self-attention đã chứng minh hiệu năng vượt trội so với các mô hình tuần tự truyền thống như RNN hay LSTM, trở thành tiêu chuẩn mới trong việc xử lý các tác vụ ngôn ngữ tự nhiên phức tạp. Báo cáo này trình bày một nghiên cứu toàn diện nhằm tái hiện, đánh giá và tối ưu hóa kiến trúc Transformer cho cặp ngôn ngữ Anh-Việt, được chia thành bài chính.

Trong Bài 1, nghiên cứu tập trung vào việc xây dựng mô hình Transformer từ nền tảng để phân tích sâu sắc tác động của các cơ chế attention khác nhau lên hiệu năng dịch thuật. Thông qua các thực nghiệm có hệ thống trên bộ dữ liệu PhoMT với quy mô từ 100 nghìn đến 1 triệu cặp câu, chúng tôi so sánh hiệu quả giữa Scaled Dot-Product Attention và Luong Attention. Kết quả thực nghiệm chỉ ra rằng Scaled Dot-Product Attention mang lại độ ổn định và điểm số BLEU và COMET cao hơn đáng kể. Đồng thời, nghiên cứu cũng khẳng định ưu thế của chiến lược giải mã Beam Search so với Greedy Search trong việc cải thiện tính mạch lạc của bản dịch.

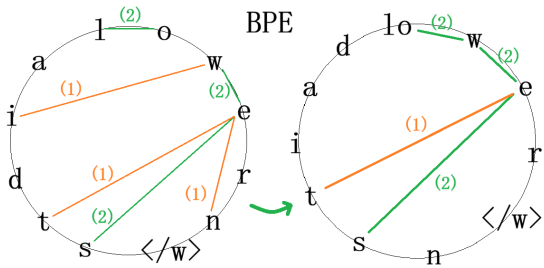
Trong khi đó, Bài 2 tập trung nghiên cứu giải quyết thách thức về sự khan hiếm dữ liệu và rào cản thuật ngữ trong dịch máy chuyên ngành y tế. Chúng tôi đề xuất áp dụng phương pháp thích nghi miền (Domain-Adaptive Pretraining) thông qua việc huấn luyện trung gian mô hình pre-trained (Helsinki-NLP/opus-mt-en-vi) trên tập dữ liệu y sinh lớn ViPubMed trước khi fine-tune cho nhiệm vụ cụ thể trên tập dữ liệu VLSP Shared Task 2025. Các kết quả định lượng bằng BLEU và COMET đã chứng minh rằng việc tiếp cận tri thức miền thông qua dữ liệu trung gian giúp mô hình cải thiện vượt bậc các chỉ số đánh giá. Code của nhóm để ở link git: <https://github.com/nvhoa2005/ProjectNaturalLanguageProcessing>

1 Introduction

Dịch máy là một trong những bài toán trong lĩnh vực xử lý ngôn ngữ tự nhiên (Natural Language Processing - NLP). Mục tiêu của dịch máy là tự động chuyển đổi văn bản từ ngôn ngữ nguồn sang ngôn ngữ đích sao cho giữ nguyên nghĩa, đảm bảo tính mạch lạc, sự liên kết ngữ pháp, và phù hợp với ngữ cảnh của văn bản. Đây là một nhiệm vụ khó khăn bởi sự phức tạp và đa dạng trong ngôn ngữ tự nhiên, bao gồm các hiện tượng như đồng nghĩa, đa nghĩa, cấu trúc câu phức tạp, cũng như những khác biệt về cú pháp và ngữ pháp giữa các ngôn ngữ.

Trải qua nhiều thế hệ mô hình, từ các phương pháp thống kê truyền thống như Statistical Machine Translation (SMT) (Brown et al., 1993) cho đến các mô hình học sâu dựa trên mạng neural như Recurrent Neural Networks (RNN) và Long Short-Term Memory (LSTM) (Mienye et al., 2024), bài toán dịch máy vẫn gặp nhiều hạn chế. RNN và LSTM mặc dù có khả năng xử lý dữ liệu tuần tự và mô hình hóa phụ thuộc ngữ cảnh, nhưng chúng vẫn gặp khó khăn trong việc ghi nhớ thông tin dài hạn, dẫn đến giảm chất lượng dịch ở những câu văn dài hoặc phức tạp. Đồng thời, các mô hình này thường yêu cầu thời gian huấn luyện dài và khả năng tính toán tuần tự làm hạn chế hiệu suất khi triển khai trên tập dữ liệu lớn.

Sự xuất hiện của kiến trúc Transformer (Vaswani et al., 2017) đã đánh dấu một bước ngoặt quan trọng trong lĩnh vực dịch máy. Với cơ chế self-attention, Transformer có khả năng học được các mối quan hệ giữa tất cả các từ trong câu một cách song song, giúp mô hình nắm bắt ngữ cảnh dài hạn hiệu quả hơn nhiều so với các mô hình tuần tự trước đây. Ngoài ra, khả năng huấn luyện song song của Transformer đã cải thiện đáng kể tốc độ huấn luyện và cho phép mở rộng quy mô trên các tập dữ liệu lớn, tạo tiền đề cho sự phát triển của các mô hình dịch máy hiện đại như BERT (Devlin et al., 2019) hay mBART (Liu et al., 2020).



Hình 1: Minh họa phương pháp BPE với bộ corpus bao gồm: l o w </w>; l o w e r </w>; n e w e s t </w>; w i d e s t </w>; e a t </w>

Trong báo cáo này, nhóm đã nghiên cứu hai phần chính bao gồm:

- Xây dựng mô hình Transformer từ đầu: Tái hiện kiến trúc cơ bản và quy trình huấn luyện của Transformer nhằm hiểu sâu cơ chế self-attention, cơ chế multi-head attention, cũng như ảnh hưởng của các tham số siêu cấu hình đến chất lượng dịch. Nhóm cũng tiến hành thí nghiệm so sánh các cơ chế attention khác nhau để phân tích hiệu quả từng phương pháp.
- Ứng dụng mô hình Transformer vào fine-tuning trên bộ dữ liệu VLSP 2025 Shared Task Machine Translation: Nhóm sử dụng mô hình đã huấn luyện trước và tinh chỉnh trên bộ dữ liệu VLSP 2025 để đánh giá hiệu quả mô hình trong bối cảnh thực tế.

Qua các bước trên, báo cáo không chỉ cung cấp cái nhìn toàn diện về kiến trúc Transformer mà còn minh họa quá trình triển khai mô hình dịch máy hiện đại, từ việc hiểu lý thuyết cho đến ứng dụng thực tiễn.

2 Báo cáo bài 1

Trong phần này, chúng tôi sẽ nói chi tiết về các module trong code transformer, cùng với kết quả thử nghiệm các loại self-attention cùng các loại decode trên bộ dữ liệu PhoMT:

2.1 Các module chính

Kiến trúc Transformer được cấu thành từ nhiều module chức năng phối hợp chặt chẽ với nhau, mỗi module đảm nhiệm một vai trò riêng trong việc học và biểu diễn ngữ cảnh của chuỗi dữ liệu. Phần này trình bày các module chính của Transformer và nguyên lý hoạt động của chúng.

Input Embedding Dựa trên tập huấn luyện vốn có (tập hợp các câu), với mỗi câu bài báo gốc tách thành các từ và các từ tách thành các chữ. Tập hợp các chữ tách được từ tập dữ liệu huấn luyện tạo thành một bộ chữ cái. Sau đó, bằng cách lặp lại quy trình: xét các từ trong một câu (đã được thêm ký tự kết thúc từ), đếm các cặp chữ gần nhau hay xuất hiện, bài báo thu được một tập các cặp chữ, ghép cặp từ có tần suất xuất hiện lớn nhất lại với nhau, ta thu được một token mới. Tập chữ cái ban đầu sau khi cập nhật (nếu 2 chữ cái có tần suất xuất hiện lớn nhất lại với nhau) sẽ tiếp tục lặp lại quy trình trên, cuối cùng ta thu được một bộ từ điển gồm rất nhiều token. Trong bài báo gốc, đây được gọi là kỹ thuật BPE (Byte Pair Encoding).

Module Input Embedding tiếp nhận các token trong từ vựng được xây dựng bằng kỹ thuật BPE. Trong giai đoạn huấn luyện, các câu văn bản được phân tách thành các token, sau đó toàn bộ tập token này được tổng hợp để hình thành một từ điển token, trong đó mỗi token được ánh xạ duy nhất sang một chỉ số nguyên (token ID). Nhờ đó, mỗi câu trong tập huấn luyện trước khi đưa vào mô hình được biểu diễn dưới dạng một dãy các token ID.

Các token ID này được ánh xạ thông qua ma trận embedding để tạo ra các biểu diễn vector liên tục của từ, trong đó mỗi token ID đóng vai trò tương đương với một biểu diễn one-hot ở không gian chỉ số. Các vector embedding thu được sau đó được chuẩn hóa bằng cách nhân với căn bậc hai của chiều không gian biểu diễn d_{model} rồi cộng trực tiếp với vector mã hoá vị trí (positional embedding) nhằm cung cấp thông tin về thứ tự của các token trong chuỗi. Ma trận positional embedding có cùng chiều d_{model} với embedding từ, cho phép hai thành phần này được kết hợp một cách nhất quán.

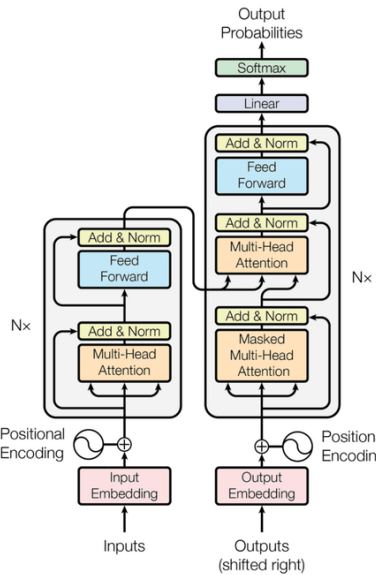
Positional Encoding được thiết kế nhằm cung cấp thông tin về thứ tự và vị trí của các token trong chuỗi, bù đắp cho việc kiến trúc Transformer không sử dụng các cơ chế xử lý tuần tự như RNN hay CNN. Bộ mã hoá vị trí này tạo ra các biểu diễn vị trí cố định (không học được) và được cộng trực tiếp vào embedding của token. Cụ thể, vector mã hoá vị trí được xác định theo các hàm sin và cos như sau:

$$PE(pos, 2i) = \sin\left(\frac{pos}{10000^{\frac{2i}{d_{model}}}}\right) \quad (1)$$

$$PE(pos, 2i + 1) = \cos\left(\frac{pos}{10000^{\frac{2i}{d_{model}}}}\right) \quad (2)$$

115	
116	
117	
118	
119	
120	
121	
122	
123	
124	
125	
126	
127	
128	
129	
130	
131	
132	
133	
134	
135	
136	
137	
138	
139	
140	
141	
142	
143	
144	
145	
146	
147	
148	
149	
150	
151	
152	
153	
154	
155	
156	
157	
158	
159	

trong đó pos là vị trí của token trong câu, i là



Hình 2: Kiến trúc Transformer

chỉ số chiều của vector mã hoá vị trí; Các chiều chẵn($2i$) sử dụng hàm \sin , các chiều lẻ ($2i + 1$) sử dụng hàm \cos

Thiết kế này cho phép mô hình suy luận được quan hệ vị trí tương đối giữa các token thông qua các tổ hợp tuyến tính của các vector mã hoá vị trí.

Encoder đầu ra của 2 khối trên là một ma trận X với $X \in R^{T \times d_{model}}$ (T là số chiều của chuỗi). Ma trận X này sau đó sẽ được biến đổi lần lượt qua các khối thành phần trong kiến trúc Transformer.

Ma trận X trước tiên được biến đổi bởi một head. Đặc trưng cho một head là bộ ba ma trận W_K , W_Q và W_V có kích cỡ 512×512 . Sau khi nhân X với các ma trận trên, ta thu được các dạng tồn tại mới của X như sau:

$$Q = X \times W_Q \quad (3)$$

$$K = X \times W_K \quad (4)$$

$$V = X \times W_V \quad (5)$$

các ma trận Q , K và V đều có số chiều là $T \times 512$, thực chất là dạng tồn tại mới của X trong 3 không gian Query - Key - Value. Không gian Query được hiểu là không gian biểu diễn một phương diện ngữ nghĩa của X , Key là không gian biểu diễn đáp ứng của X với phương diện ngữ nghĩa nói trên, Value là không gian biểu diễn giá trị cỗ hưu của X . Vì X là tập hợp biểu diễn của các token trong một câu nên đồng nghĩa Query, Key và Value đang biểu

diễn phương diện ngữ nghĩa của token, đáp ứng của token và giá trị cỗ hưu của chúng.

Trong từng head, cơ chế attention được tính độc lập theo công thức:

$$\text{Attention}(Q, K, V) = \text{softmax}\left(\frac{QK^T}{\sqrt{d_k}}\right)V \quad (6)$$

phép nhân ma trận trong biểu thức trên ($Q_i K_i^T$) đại diện cho việc lấy tích vô hướng (dot-product) biểu diễn của một token trong chiều không gian Query với tất cả biểu diễn của token khác (bao gồm chính nó) trong chiều không gian Key. Công thức tích vô hướng ($uv = |u||v| \text{Cos}(u, v)$) cho biết mức độ đồng điệu của 2 vector trong một không gian nói chung, điều đồng nghĩa với việc token được xét đang đi tìm bối từ cho nó thông qua định lượng $Q_i \times K_i^T$. Bằng việc chuẩn hoá chia tích trên cho \sqrt{d} , tích chấm sẽ không tạo ra giá trị quá lớn khi số chiều cao, nhờ đó Softmax không bị bão hòa (Gradient ổn định hơn). Đầu ra của hàm Softmax được nhân với (V_i) biểu diễn giá trị thực của token so với giá trị cỗ hưu của nó.

Thực tế kiến trúc Transformer không được thiết kế như vậy, chúng ta sẽ có nhiều head thay vì một, mỗi head được đặc trưng bởi bộ ba Q_i , K_i và V_i riêng biệt có kích cỡ bằng nhau và bằng 512×64 . Việc tạo ra nhiều head thay vì 1 giống như chiều X trên các không gian ngữ nghĩa khác nhau, trên các không gian đáp ứng ngữ nghĩa khác nhau đi cùng với các giá trị ngữ nghĩa cỗ hưu khác nhau. Việc tính toán attention sẽ được thực hiện theo head, không có sự pha trộn. Tập hợp các head riêng biệt nói trên tạo thành một khối multi-head, lúc này công thức Attention được tính như sau:

$$\text{Atten}(Q_i, K_i, V_i) = \text{Softmax}\left(\frac{Q_i K_i^T}{\sqrt{d_k}}\right)V_i \quad (7)$$

trong đó i đại diện cho các head khác nhau (trong bài báo gốc $i = 8$) và d_k lúc này được hiểu là số chiều của vector Key (trong bài báo gốc $d_k = 64$).

Sau khi các head hoàn tất việc tính toán attention, đầu ra của chúng được nối lại tạo thành một ma trận có kích cỡ $T \times 512$, bằng với kích cỡ của ma trận X ban đầu nhưng giàu thông tin hơn do được biến đổi bởi các head.

Add & LayerNorm (sau Attention): đầu ra của khối multi-head nói trên sẽ được cộng với X bản thể thông qua residual (Add), theo sau đó là LayerNorm với mục đích giúp mô hình giữ Gradient ổn định và huấn luyện sâu. Cụ thể:

$$\text{LayerNorm}(x) = \gamma \frac{x - \mu}{\sqrt{\sigma^2 + \epsilon}} + \beta \quad (8)$$

(ở đây x là một hàng trong X). Công thức trên không nằm trong bài báo gốc mà là phục dựng theo mô tả của bài báo gốc. Trong đó x là biểu diễn của các token (sau khi đi qua multi-head); μ , σ^2 lần lượt là trung bình và phương sai của giá trị các chiều trong vector x , ϵ là bias và cặp γ , β là các tham số học được. Trước khi qua LayerNorm, đầu ra của multi-head được cộng với X trước khi đi qua multi-head:

$$x' = \text{LayerNorm}(x + \text{Attention}(x)) \quad (9)$$

đầu ra của LayerNorm sau đó tiếp tục được đưa qua một mạng **Feed Forward Network (FFN)**:

$$\text{FFN}(x) = [\text{Max}(0, xW_1 + b_1)]W_2 + b_2 \quad (10)$$

$$W_1 \in \mathbb{R}^{d_{model} \times d_{hidden}}, b_1 \in \mathbb{R}^{d_{hidden}} \quad (11)$$

$$W_2 \in \mathbb{R}^{d_{hidden} \times d_{model}}, b_2 \in \mathbb{R}^{d_{model}} \quad (12)$$

trong đó W_1 và W_2 là ma trận đại diện cho một mạng nơ-ron đa lớp. Số chiều của mạng trên được ký hiệu bởi d_{hidden} , lớn hơn d_{model} . Hàm Max trong công thức biểu diễn cho lớp phi tuyến Relu nằm giữa 2 lớp tuyến tính nói trên. Trước khi được đưa vào các khối Decoder, đầu ra của FFN tiếp tục được đưa qua Add & LayerNorm.

Toàn bộ các thành phần trên cấu tạo thành một Encoder, trong bài báo gốc, tác giả sử dụng 6 Encoder nối tiếp nhau, trong đó output của Encoder này đóng vai trò là input của Encoder kia.

Decoder tương đối giống với Encoder, chỉ khác khói này có thêm masked multi-head attention và câu đích được dịch phải 1 đơn vị. Masked multi-head attention giống với multi-head attention của Encoder nhưng trước khi đi qua SoftMax, ma trận trung gian X (X của câu đích - groundtruth) được cộng với ma trận tam giác dưới có các phần tử nằm trên đường chéo chính có giá trị âm vô cực:

$$G_i = \frac{Q_i K_i^T}{\sqrt{d_k}} + \text{mask} \quad (13)$$

$$\text{mAttn}(Q_i, K_i, V_i) = \text{Softmax}(G_i)V_i \quad (14)$$

kết quả sau khi đi qua Softmax ta thu được trọng số attention cho token tương lai bằng 0.

Trong hình minh họa kiến trúc Transformer (hình 2), mũi tên đầu ra của Encoder gắn với multi-head của Decoder ám chỉ việc khói này cung cấp cho multi-head của Decoder 2 ma trận K , V với ý nghĩa tương tự giải thích trên. Gọi E là ma trận đầu ra của

Encoder, đầu vào của Decoder nhận vào từ Encoder được tính như sau:

$$K_{enc} = E \times W_K \quad (15)$$

$$V_{enc} = E \times W_V \quad (16)$$

trong đó W_K và W_V là các ma trận của Decoder có cùng ý nghĩa với các ma trận tương ứng trong Encoder. Ma trận còn lại W_Q được nhân với X_{dec} - tương ứng với X của Encoder nhưng trích xuất từ câu ground truth (câu đích tương ứng, dịch sang phải 1 đơn vị chữ). X_{dec} là sản phẩm của Masked Multi-Head Attention và Add & LayerNorm. Tại khối Multi-Head Attention của Decoder, sau khi tập hợp đủ Q_{dec} (từ Decoder), K_{enc} và V_{enc} (từ Encoder), mô hình tiếp tục thực hiện Attention:

$$\begin{aligned} & \text{Attention}(Q_{dec}, K_{enc}, V_{enc}) \\ &= \text{Softmax}\left(\frac{Q_{dec} K_{enc}^\top}{\sqrt{d_k}}\right) V_{enc} \end{aligned} \quad (17)$$

Công thức trên ám chỉ việc Decoder lấy thông tin ngữ cảnh từ Encoder để tổng hợp và đưa ra dự đoán.

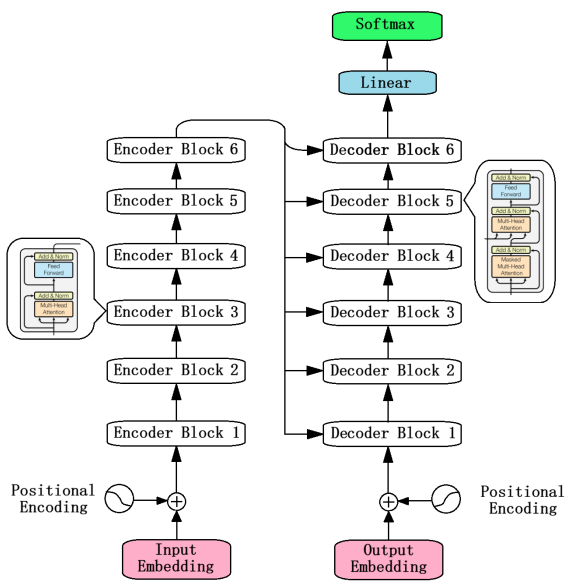
Giả sử đầu ra của Decoder là H ($T \times 512$), một lớp Linear sẽ được áp dụng lên H nhằm chiếu các phần tử trong H (các hàng) lên không gian $|V|$ chiều với V là tập từ vựng, theo sau đó là Softmax nhằm biến đổi giá trị của các perceptron trong mạng linear từ miền liên tục thành miền xác suất, đại diện cho dự đoán của mô hình về từ tiếp theo nó có thể sinh.

$$\begin{aligned} \text{Output} &= \text{Softmax}(H W_0 + b_0), \\ \text{trong đó } W_0 &\in \mathbb{R}^{512 \times |V|} \end{aligned} \quad (18)$$

Trong bài báo gốc, W_0 được dùng chung với ma trận encoding đầu vào để giảm số lượng tham số

Bên cạnh kiến trúc Transformer chuẩn, mô hình trong nghiên cứu này sử dụng biến thể Pre-Layer Normalization (Prenorm) nhằm cải thiện tính ổn định trong quá trình huấn luyện. Khác với Transformer gốc, trong đó Layer Normalization được đặt sau phép cộng residual (Post-Norm), kiến trúc Prenorm áp dụng Layer Normalization trước mỗi khói con (sublayer), bao gồm self-attention và feed-forward network, trong khi vẫn giữ nguyên cấu trúc residual connection. Cụ thể, khác với thiết kế của bản gốc (công thức (9)), với đầu vào x , khói con trong Prenorm Transformer được biểu diễn dưới dạng:

$$x' = x + \text{SubLayer}(\text{LayerNorm}(x)) \quad (19)$$



Hình 3: Minh họa Stack Encoder - Decoder

Việc đưa Layer Normalization lên trước khối xử lý cho phép gradient truyền trực tiếp qua nhánh residual mà không bị biến đổi bởi phép chuẩn hóa, từ đó giúp mô hình huấn luyện ổn định hơn, đặc biệt khi số lượng tầng tăng. Do đầu ra của mỗi block trong kiến trúc Prenorm không được chuẩn hóa một cách tường minh, mô hình thường bổ sung một Layer Normalization cuối cùng sau block Transformer cuối để ổn định phân phối biểu diễn trước khi đưa vào các tầng dự đoán.

Biến thể Pre-Layer Normalization mang lại ưu điểm chính là cải thiện độ ổn định của quá trình huấn luyện, nhờ việc gradient có thể truyền trực tiếp qua các nhánh residual mà không bị ảnh hưởng bởi phép chuẩn hóa. Điều này đặc biệt hiệu quả đối với các mô hình Transformer sâu, giúp giảm phụ thuộc vào kỹ thuật warm-up learning rate và cho phép sử dụng tốc độ học lớn hơn. Tuy nhiên, do Layer Normalization không còn được áp dụng sau mỗi block, biểu diễn đầu ra của các tầng trung gian không được chuẩn hóa tường minh, dẫn đến việc mô hình thường phải bổ sung một LayerNorm cuối cùng để ổn định phân phối đầu ra. Ngoài ra, trong các kiến trúc Transformer nông, lợi ích của Prenorm so với Post-Norm có thể không rõ rệt.

2.2 Huấn luyện mô hình

Mô hình được thiết lập một kiến trúc Transformer tiêu chuẩn với các tham số mô hình được lựa chọn nhằm cân bằng giữa khả năng biểu diễn ngữ nghĩa và chi phí tính toán. Cụ thể, mô hình bao gồm 6 lớp encoder và 6 lớp decoder ($N = 6$), với kích thước

vector ẩn d_{model} là 512 và số lượng đầu attention (h) là 8. Mạng FFN bên trong mỗi khối được thiết lập với kích thước $d_{ff} = 2048$, và kỹ thuật Dropout với tỷ lệ 0.1 được áp dụng tại các lớp con để hạn chế hiện tượng overfitting.

Quá trình tối ưu hóa tham số được thực hiện thông qua thuật toán Adam ($\beta_1 = 0.9, \beta_2 = 0.98, \epsilon = 10^{-9}$), với tốc độ học được cố định ở mức $\alpha = 10^{-4}$. Hàm mất mát được sử dụng là Cross-Entropy Loss, trong đó chúng tôi áp dụng cơ chế Label Smoothing hoặc loại bỏ padding index khỏi quá trình tính toán loss để mô hình tập trung vào các từ vựng thực tế. Chu trình huấn luyện kéo dài trong 5 epoch với batch size là 32. Tại mỗi bước huấn luyện, gradient được tính toán và lan truyền ngược để cập nhật trọng số nhằm giảm thiểu sai số dự đoán. Chúng tôi cũng theo dõi biến thiên của hàm mất mát sau mỗi epoch để đảm bảo mô hình đang hội tụ đúng hướng, đồng thời ghi nhận thời gian huấn luyện trung bình cho mỗi epoch nhằm đánh giá hiệu quả tính toán của thuật toán.

2.3 Kết quả đánh giá mô hình

Trong phần này, nhóm trình bày và phân tích kết quả đánh giá mô hình Transformer trên bộ dữ liệu PhoMT (Doan et al., 2021), đồng thời so sánh hiệu năng của mô hình khi sử dụng các cơ chế self-attention và chiến lược giải mã (decoding) khác nhau. Toàn bộ thí nghiệm được thực hiện trên mô trường máy ảo Kaggle với GPU T4x2 (16GB VRAM) và 30GB RAM, nhằm đảm bảo điều kiện tính toán đồng nhất giữa các cấu hình thử nghiệm.

Bộ dữ liệu Nhóm đã sử dụng bộ dữ liệu PhoMT, bao gồm 3.02 triệu cặp câu song ngữ Anh–Việt, là một trong những bộ dữ liệu dịch máy quy mô lớn và chất lượng cao cho tiếng Việt. Tuy nhiên, để khảo sát ảnh hưởng của kích thước dữ liệu huấn luyện đến hiệu năng của mô hình, nhóm không sử dụng toàn bộ tập dữ liệu mà tiến hành thí nghiệm với các tập con có kích thước tăng dần, từ 100 nghìn đến 1 triệu cặp câu.

Cách tiếp cận này cho phép đánh giá khả năng mở rộng của mô hình Transformer cũng như quan sát hiện tượng bão hòa dữ liệu, tức là khi việc bổ sung thêm dữ liệu huấn luyện không còn mang lại cải thiện đáng kể về chất lượng dịch.

Độ đo Để đánh giá chất lượng dịch của mô hình, nhóm đã sử dụng 2 độ đo phổ biến là BLEU (Bilingual Evaluation Understudy) (Papineni et al., 2002) và COMET (Crosslingual Optimized Metric for Evaluation of Translation) (Rei et al., 2020).

410 BLEU là chỉ số này đo lường mức độ tương đồng
411 giữa câu dịch tự động và các câu tham chiếu thông
412 qua việc so sánh các n-gram, được thể hiện bằng
413 công thức:

414

$$\text{BLEU} = \text{BP} \cdot \exp \left(\sum_{n=1}^N w_n \log p_n \right), \quad (20)$$

415 trong đó p_n là độ chính xác (precision) của n-gram
416 thứ n , w_n là trọng số của từng n-gram (thường
417 $w_n = \frac{1}{N}$), và BP là brevity penalty được định nghĩa
418 như sau:

419

$$\text{BP} = \begin{cases} 1 & \text{nếu } c > r \\ e^{1-r/c} & \text{nếu } c \leq r \end{cases} \quad (21)$$

420 với c là độ dài câu dịch và r là độ dài câu tham
421 chiếu. BLEU đánh giá chủ yếu dựa trên trùng khớp
422 n-gram bề mặt mà chưa xét đến nghĩa sâu của câu.

423 COMET là độ đo dựa trên mô hình học sâu, được
424 huấn luyện để dự đoán chất lượng dịch máy tương
425 quan với đánh giá của con người. Khác với BLEU,
426 COMET đánh giá ngữ nghĩa và ngữ cảnh của câu,
427 dựa trên embeddings đa ngôn ngữ. Mô hình dự
428 đoán điểm chất lượng \hat{y} như sau:

429

$$\hat{y} = f_\theta(\text{Embed}(x), \text{Embed}(r)), \quad (22)$$

430 trong đó $\text{Embed}(\cdot)$ là vector biểu diễn ngữ nghĩa
431 của câu dịch x và câu tham chiếu r , còn f_θ là mô
432 hình học sâu (MLP hoặc transformer) được huấn
433 luyện trên dữ liệu đánh giá dịch máy. Nhờ đánh giá
434 ở mức ý nghĩa, COMET có tương quan cao hơn với
435 đánh giá của con người so với các metric truyền
436 thống như BLEU.

437 **Kết quả của mô hình** Kết quả tổng thể của mô
438 hình Transformer với hai cơ chế self-attention khác
439 nhau – Scaled Dot-Product Attention và Luong
440 Attention – được trình bày trong Bảng 1. Qua bảng
441 kết quả có thể nhận thấy rằng khi kích thước tập
442 dữ liệu huấn luyện tăng, hiệu năng của mô hình cải
443 thiện rõ rệt ở giai đoạn đầu, đặc biệt từ 100 nghìn
444 đến khoảng 700 nghìn cặp câu. Tuy nhiên, khi số
445 lượng dữ liệu tiếp tục tăng lên, mức cải thiện trở
446 nên chậm hơn và không còn ổn định, cho thấy mô
447 hình bắt đầu đạt trạng thái bão hòa.

448 Đối với Scaled Dot-Product Attention, mô hình
449 đạt điểm BLEU cao nhất là 30.86 và COMET
450 là 0.81 khi huấn luyện trên 900 nghìn cặp câu.
451 Trong khi đó, Luong Attention cũng cho kết quả
452 cạnh tranh, với điểm BLEU cao nhất đạt 30.86 và
453 COMET đạt 0.81 ở cùng quy mô dữ liệu. Nhìn

454 chung, Scaled Dot-Product Attention cho kết quả
455 ổn định hơn ở hầu hết các mốc dữ liệu, đặc biệt khi
456 kích thước tập huấn luyện lớn, phản ánh sự phù hợp
457 của cơ chế này với kiến trúc Transformer.

458 **Phân tích quá trình hội tụ** Quan sát đồ thị biến
459 thiên của độ đo BLEU và COMET qua 5 epoch
460 huấn luyện tại Hình 4, chúng tôi nhận thấy cả
461 hai cơ chế attention đều thể hiện xu hướng hội tụ
462 mạnh mẽ ngay từ giai đoạn đầu. Cụ thể, trong hai
463 epoch đầu tiên, độ dốc lớn của đường biểu diễn
464 minh chứng cho tốc độ học nhanh, khẳng định hiệu
465 quả của chiến lược learning rate warmup trong việc
466 giúp mô hình nhanh chóng thoát khỏi các vùng
467 tham số khởi tạo ngẫu nhiên để hướng tới điểm tối
468 ưu. Bước sang giai đoạn từ epoch thứ 3 đến thứ 5,
469 đà tăng trưởng của các chỉ số bắt đầu chậm lại và
470 đi vào ổn định, xác nhận việc dừng huấn luyện tại
471 epoch 5 là quyết định tối ưu nhằm cân bằng giữa
472 hiệu năng dịch thuật và chi phí tính toán, đồng thời
473 tránh hiện tượng overfitting khi mô hình đã đạt đến
474 trạng thái bão hòa trên tập dữ liệu huấn luyện.

475 Khi đi sâu vào so sánh hai biến thể, cơ chế
476 Scaled Dot-Product Attention thể hiện xu hướng
477 ổn định hơn trên nhiều mốc so với Luong Attention
478 trên cả hai phương diện hiệu năng tuyệt đối và độ
479 ổn định. Không chỉ duy trì đường cong hiệu năng
480 nằm ở vị trí cao hơn trên hầu hết các epoch, biến
481 thể Scaled Dot-Product còn cho thấy quá trình tối
482 ưu hóa mượt mà hơn, hạn chế được các dao động
483 thất thường (fluctuations) trong quá trình lan truyền
484 ngược mà Luong Attention thường gặp phải. Sự ổn
485 định này gợi ý rằng việc chuẩn hóa tích vô hướng
486 trong không gian nhiều chiều thực sự giúp gradient
487 lan truyền hiệu quả hơn, dẫn đến kết quả hội tụ
488 tốt hơn cho kiến trúc Transformer trên bộ dữ liệu
489 PhoMT.

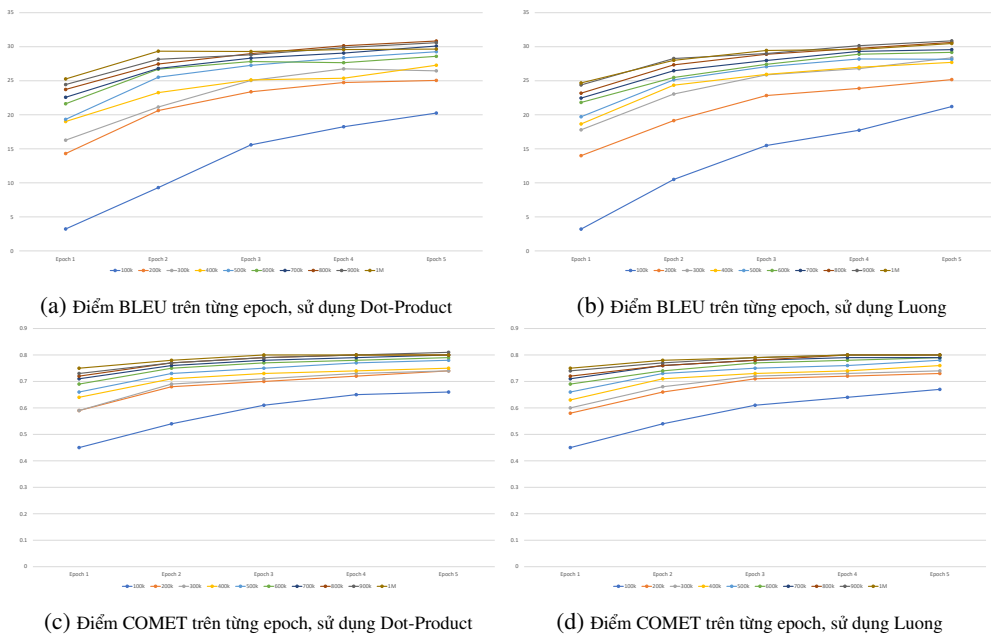
490 **Đánh giá các thuật toán giải mã (Decoding) cho**
491 **mô hình Transformer** Bên cạnh việc so sánh các
492 cơ chế self-attention, nhóm cũng tiến hành đánh
493 giá ảnh hưởng của các chiến lược giải mã đến chất
494 lượng dịch của mô hình Transformer. Kết quả so
495 sánh giữa Greedy Search và Beam Search với các
496 kích thước chùm khác nhau được trình bày trong
497 Bảng 2. Do mô hình đã đạt trạng thái bão hòa tại
498 mốc 700 nghìn cặp câu, các thí nghiệm giải mã chỉ
499 được thực hiện trên tập dữ liệu này để đảm bảo tính
500 công bằng và tiết kiệm chi phí tính toán. Một số
501 mẫu dịch cụ thể của mô hình có thể xem ở phần
502 Appendix A

503 Kết quả cho thấy Beam Search tốt hơn Greedy
504 Search trên cả hai độ đo BLEU và COMET. Cụ thể,

Bảng 1: Kết quả của mô hình Transformer trên bộ dữ liệu PhoMT

Dataset	Scaled Dot Product Attention		Luong Attention	
	BLEU	COMET	BLEU	COMET
PhoMT (100k)	20.25	0.66	21.21	0.67
PhoMT (200k)	25.05	0.74	25.17	0.73
PhoMT (300k)	26.75	0.74	28.37	0.74
PhoMT (400k)	27.28	0.75	27.70	0.76
PhoMT (500k)	29.26	0.78	28.20	0.78
PhoMT (600k)	28.59	0.79	29.17	0.79
PhoMT (700k)	30.10	0.80	29.57	0.79
PhoMT (800k)	30.84	0.80	30.63	0.80
PhoMT (900k)	30.59	0.81	30.86	0.81
PhoMT (1M)	29.65	0.80	30.47	0.80

In đậm thể hiện điểm cao nhất



Hình 4: Phân tích điểm số đạt được của mô hình theo từng epoch

505 khi sử dụng Scaled Dot-Product Attention, điểm
506 BLEU tăng từ 28.67 (Greedy Search) lên 29.58
507 với Beam Search ($k = 2$), và tiếp tục tăng khi kích
508 thước chùm lớn hơn. Điểm số cao nhất đạt được tại
509 Beam size = 5 với BLEU là 30.10 và COMET là
510 0.80. Tuy nhiên, mức cải thiện giữa các giá trị k lớn
511 (từ $k = 4$ đến $k = 5$) là tương đối nhỏ, cho thấy hiệu
512 năng đã tiệm cận ngưỡng bão hòa.

513 Xu hướng tương tự cũng được quan sát đối với
514 Luong Attention. Mặc dù Beam Search tiếp tục
515 mang lại cải thiện so với Greedy Search, sự khác
516 biệt giữa các kích thước chùm lớn là không đáng
517 kể. Điều này cho thấy việc lựa chọn Beam size cần
518 cân nhắc giữa chất lượng dịch và chi phí tính toán,
519 trong đó Beam size = 4 hoặc 5 có thể được xem là
520 lựa chọn hợp lý trong bối cảnh thí nghiệm này.

521 3 Báo cáo bài 2

522 Các mô hình Transformer, mặc dù mạnh mẽ trong
523 việc xử lý ngôn ngữ tự nhiên, vẫn gặp khó khăn khi
524 đổi mới với các từ chuyên ngành y tế. Nguyên nhân
525 chính là do dữ liệu huấn luyện của các mô hình
526 này thường dựa trên ngôn ngữ phổ thông, thiếu các
527 thuật ngữ chuyên sâu hoặc ngữ cảnh y học đặc thù.
528 Khi gặp các từ như tên thuốc, triệu chứng hiếm gặp
529 hay các khái niệm y học phức tạp, mô hình dễ hiểu
530 sai ý nghĩa, gây ra lỗi trong dự đoán hoặc sinh văn
531 bản. Do đó, để ứng dụng trong y tế, các mô hình
532 Transformer cần được tinh chỉnh thêm với dữ liệu
533 chuyên ngành hoặc kết hợp kiến thức từ các cơ sở
534 dữ liệu y học đáng tin cậy. Trong phần này, nhóm
535 sẽ ứng dụng và tối ưu hóa mô hình Transformer
536 trên bộ dữ liệu miền y tế.

537 3.1 Bộ dữ liệu

538 Bộ dữ liệu được sử dụng cho Bài 2 là tập dữ
539 liệu VLSP thuộc khuôn khổ Shared Task Machine
540 Translation của cuộc thi VLSP 2025. Đây là một bộ
541 dữ liệu chuyên biệt trong miền y tế, được xây dựng
542 nhằm phục vụ các nghiên cứu và ứng dụng dịch
543 máy từ tiếng Anh sang tiếng Việt trong bối cảnh
544 tài liệu y khoa. Về quy mô, tập dữ liệu VLSP bao
545 gồm 500 nghìn cặp câu song ngữ Anh-Việt trong
546 tập huấn luyện (train set) và 3000 cặp câu cho tập
547 kiểm tra (test set).

548 3.2 Phương pháp

549 So với các bộ dữ liệu dịch máy phổ thông như
550 PhoMT, VLSP có một số đặc điểm khiến bài toán
551 trở nên tách thức hơn. Thứ nhất, dữ liệu chứa mật
552 độ cao các thuật ngữ y khoa chuyên ngành, bao

553 gồm tên bệnh, triệu chứng, phương pháp điều trị,
554 thủ thuật y tế và các khái niệm sinh học phức tạp.
555 Nhiều thuật ngữ trong số này xuất hiện với tần suất
556 rất thấp trong các tập dữ liệu dịch phổ thông, thậm
557 chí không xuất hiện trong dữ liệu huấn luyện ban
558 đầu của các mô hình pre-trained. Thứ hai, các câu
559 trong VLSP thường có cấu trúc câu mang tính học
560 thuật hoặc lâm sàng, với cách diễn đạt chính xác,
561 súc tích và ít dư thừa, khác biệt đáng kể so với văn
562 phong hội thoại hoặc báo chí.

563 Những đặc điểm trên khiến việc fine-tune trực
564 tiếp mô hình trên VLSP gặp nhiều hạn chế, đặc biệt
565 trong việc học và ghi nhớ các biểu thức ngôn ngữ
566 đặc thù của miền y tế. Với quy mô dữ liệu tương
567 đối nhỏ so với các tập huấn luyện phổ thông, VLSP
568 khó có thể cung cấp đủ ngữ cảnh để mô hình học
569 một cách đầy đủ các mối liên hệ giữa thuật ngữ,
570 ngữ cảnh và cách diễn đạt chuẩn trong tiếng Việt.
571 Do đó, việc bổ sung thêm dữ liệu huấn luyện trung
572 gian trong cùng miền được xem là một hướng tiếp
573 cận hợp lý nhằm cải thiện chất lượng dịch.

574 Nhóm đã áp dụng phương pháp thích nghi
575 miền (Domain-Adaptive Pretraining) cho bài này
576 (Gururangan et al., 2020). Cụ thể, bên cạnh bộ
577 dữ liệu VLSP, nhóm sử dụng thêm tập dữ liệu
578 ViPubMed (Phan et al., 2023) trong giai đoạn huấn
579 luyện trung gian. ViPubMed là một tập dữ liệu y
580 sinh quy mô lớn, bao gồm các cặp câu Anh–Việt
581 được trích xuất và xây dựng từ các tài liệu khoa học
582 và bài báo y sinh. Tập dữ liệu này có độ bao phủ
583 thuật ngữ rộng và đa dạng ngữ cảnh, giúp mô hình
584 tiếp cận với nhiều cách diễn đạt khác nhau trong
585 miền y tế trước khi được tinh chỉnh cho nhiệm vụ
586 cụ thể trên VLSP.

587 Nhóm đã triển khai hai giai đoạn huấn luyện mô
588 hình như sau:

- **Domain Pretraining** Huấn luyện mô hình
589 pre-trained trên tập dữ liệu y tế tổng quát
590 ViPubMed. Nhóm thực hiện thay đổi kích
591 thước dữ liệu huấn luyện: 300 nghìn, 500
592 nghìn và 700 nghìn cặp câu. Mục tiêu là để
593 mô hình học được phân phối xác suất của các
594 từ vựng y tế.
- **Task Fine-tuning** Sử dụng Checkpoint từ giai
596 đoạn 1 để tiếp tục fine-tune trên tập dữ liệu
597 VLSP nhằm tối ưu hóa cho nhiệm vụ cụ thể.

599 3.3 Huấn luyện mô hình

600 Khác với chiến lược huấn luyện từ đầu (training
601 from scratch) được áp dụng trong Bài 1, ở giai đoạn
602 này nhóm tiếp cận bài toán theo hướng tinh chỉnh

Bảng 2: So sánh các decoder trong mô hình Transformer

Decoder	BLEU	COMET
<i>Scaled Dot-Product Attention</i>		
Greedy	28.67	0.78
Beamsize=2	29.58	0.79
Beamsize=3	29.84	0.79
Beamsize=4	30.04	0.80
Beamsize=5	30.10	0.80
<i>Luong Attention</i>		
Greedy	28.31	0.78
Beamsize=2	29.01	0.79
Beamsize=3	29.28	0.79
Beamsize=4	29.60	0.79
Beamsize=5	29.57	0.79

In đậm thể hiện điểm cao nhất

(fine-tuning) mô hình ngôn ngữ lớn đã được huấn luyện trước. Cụ thể, mô hình được lựa chọn cho thí nghiệm là Helsinki-NLP/opus-mt-en-vi, một mô hình Transformer đã được huấn luyện trước trên Hugging Face cho tác vụ dịch từ tiếng Anh sang tiếng Việt. Việc sử dụng mô hình pre-trained giúp tận dụng tri thức ngôn ngữ phổ quát đã được học, từ đó rút ngắn thời gian hội tụ và nâng cao hiệu năng khi chuyển giao sang miền dữ liệu y tế đặc thù của VLSP. Quá trình huấn luyện được thực hiện theo cơ chế học có giám sát trên tập dữ liệu VLSP, trong đó dữ liệu đầu vào được mã hóa bằng tokenizer tương ứng của mô hình với độ dài chuỗi tối đa được thiết lập là 128 token nhằm đảm bảo cân bằng giữa khả năng bao quát ngữ cảnh và chi phí tính toán.

Để tối ưu hóa các tham số của mô hình trên miền dữ liệu mới, nhóm sử dụng hàm mất mát Cross-Entropy Loss tiêu chuẩn, tính toán sự sai biệt giữa phân phối xác suất của từ được dự đoán và từ đích thực tế. Quá trình tối ưu hóa được thực hiện thông qua thuật toán AdamW tích hợp trong thư viện Seq2SeqTrainer của Hugging Face, với tốc độ học (learning rate) được thiết lập ở mức nhỏ 2×10^{-5} . Đây là mức learning rate phù hợp cho giai đoạn fine-tuning, giúp mô hình điều chỉnh trọng số để thích nghi với các thuật ngữ y khoa mà không làm phá vỡ các tri thức ngôn ngữ cơ bản đã học được trước đó. Để tăng cường hiệu quả tính toán trên GPU, nhóm áp dụng kỹ thuật huấn luyện chính xác hỗn hợp (mixed-precision training - fp16) kết hợp với kích thước batch là 16 và tích lũy gradient (gradient accumulation) qua 2 bước.

Chu trình huấn luyện được thiết lập kéo dài trong

5 epoch. Đây là khoảng thời gian được xác định dựa trên quan sát thực nghiệm là đủ để mô hình hội tụ ổn định trên tập dữ liệu kích thước trung bình như VLSP mà không gây ra hiện tượng overfitting. Tại cuối mỗi epoch, mô hình được đánh giá trên tập validation (gồm 3000 cặp câu) thông qua hai chỉ số chính là giá trị hàm mất mát (validation loss) và điểm số BLEU. Việc theo dõi liên tục các chỉ số này cho phép kiểm soát chặt chẽ diễn biến huấn luyện, đảm bảo rằng mô hình không chỉ giảm thiểu sai số dự đoán mà còn thực sự cải thiện chất lượng dịch thuật trên các dữ liệu chưa từng gặp. Kết quả đánh giá trên tập kiểm thử sau epoch cuối cùng sẽ được sử dụng làm cơ sở để so sánh hiệu năng với các phương pháp tiếp cận khác như Domain-Adaptive Pretraining.

3.4 Kết quả thực nghiệm

Tương tự với bài 1, nhóm sử dụng hai độ đo phổ biến là BLEU và COMET để đánh giá chất lượng dịch máy trên bộ dữ liệu VLSP. Toàn bộ thí nghiệm được thực hiện trên môi trường Kaggle với GPU T4x2 (16GB VRAM) và 30GB RAM. Một số ví dụ cụ thể cho thí nghiệm này được trình bày trong phần Appendix B của bài báo này.

Baseline Để đánh giá hiệu quả của phương pháp thích nghi miền (domain-adaptive fine-tuning), nhóm thiết lập một mô hình baseline bằng cách fine-tune trực tiếp mô hình trên tập dữ liệu VLSP mà không sử dụng bất kỳ dữ liệu y tế bổ sung nào. Kết quả của mô hình này phản ánh năng lực của việc fine-tune đơn thuần trên một tập dữ liệu chuyên ngành có quy mô tương đối nhỏ và được sử

668 dụng làm mốc so sánh cho các phương pháp huấn
669 luyện hai giai đoạn.

670 **Kết quả** Kết quả thực nghiệm được trình bày
671 trong bảng 3 cho thấy phương pháp thích nghi
672 miền mang lại sự cải thiện nhất quán về hiệu năng
673 so với baseline. Cụ thể, mô hình fine-tune trực tiếp
674 trên VLSP đạt điểm BLEU là 45.06 và COMET
675 là 0.85. Khi mô hình được huấn luyện trung gian
676 trên tập ViPubMed với 300 nghìn cặp câu trước khi
677 fine-tune trên VLSP, điểm BLEU tăng lên 45.81 và
678 COMET tăng lên 0.86. Xu hướng cải thiện tiếp tục
679 được duy trì khi tăng quy mô dữ liệu ViPubMed lên
680 500 nghìn và 700 nghìn cặp câu, với điểm BLEU
681 cao nhất đạt 46.57 và COMET đạt 0.86.

682 Kết quả này cho thấy việc huấn luyện trước trên
683 dữ liệu y sinh tổng quát giúp mô hình học được
684 phân phối xác suất của từ vựng và cấu trúc câu
685 đặc thù trong miền y tế, từ đó cải thiện khả năng
686 dịch khi chuyển sang tập VLSP. Tuy nhiên, mức
687 cải thiện giữa các mốc 500 nghìn và 700 nghìn cặp
688 câu là tương đối nhỏ, cho thấy mô hình đã bắt đầu
689 đạt trạng thái bão hòa và lợi ích thu được từ việc
690 bổ sung thêm dữ liệu huấn luyện trung gian không
691 còn quá rõ rệt. Hiện tượng này tương đồng với quan
692 sát ở Bài 1 khi hiệu suất mô hình bão hòa theo kích
693 thước dữ liệu.

694 **Phân tích quá trình hội tụ và độ ổn định của**
695 **mô hình qua quá trình huấn luyện** Dựa trên kết
696 quả thực nghiệm và biểu đồ quá trình huấn luyện
697 được trình bày trong Hình 5, tác động tích cực của
698 phương pháp Domain-Adaptive Pretraining đối với
699 khả năng hội tụ trở nên rất rõ ràng khi đặt cạnh
700 mô hình Baseline. Sự khác biệt lớn nhất nằm ở
701 điểm khởi đầu và tốc độ thích nghi; các mô hình
702 đã qua huấn luyện sơ bộ trên ViPubMed—đặc biệt
703 là phiên bản sử dụng 700k cặp câu—bước vào giai
704 đoạn fine-tune với mức loss thấp hơn và các chỉ số
705 dịch thuật khởi điểm cao hơn đáng kể. Điều này
706 cho thấy mô hình đã hấp thụ được các phân phối
707 xác suất và đặc trưng từ vựng của miền y tế ngay từ
708 giai đoạn pre-training, cho phép chúng chỉ cần một
709 lượng nhỏ gradient update để tinh chỉnh tham số
710 thay vì phải học lại các cấu trúc ngôn ngữ cơ bản,
711 qua đó rút ngắn đáng kể thời gian để đạt đến trạng
712 thái hội tụ ổn định.

713 Bên cạnh lợi thế về tốc độ, các mô hình pre-
714 trained còn thể hiện tính ổn định trong quá trình tối
715 ưu hóa. Việc sử dụng dữ liệu trung gian giúp làm
716 "mượt" không gian lỗi (loss landscape), thể hiện
717 qua biên độ dao động nhỏ của hàm mất mát giữa
718 các bước huấn luyện, từ đó giảm thiểu rủi ro mô

719 hình bị kẹt tại các điểm tối ưu cục bộ kém chất
720 lượng thường thấy khi fine-tune trực tiếp trên tập
721 dữ liệu nhỏ như VLSP. Tuy nhiên, khi quan sát
722 mức độ cải thiện biên giữa việc sử dụng 500 nghìn
723 và 700 nghìn cặp câu pre-training, chúng tôi nhận
724 thấy dấu hiệu của sự bão hòa tiềm cận. Điều này
725 chỉ ra rằng, dù dữ liệu bổ sung giúp củng cố tri
726 thức miền, nhưng kiến trúc mô hình và dung lượng
727 thông tin giới hạn của tập đích VLSP mới là yếu tố
728 quyết định trần hiệu năng cuối cùng, khẳng định
729 vai trò bổ trợ nhưng không thể thay thế hoàn toàn
730 dữ liệu fine-tune chất lượng cao của phương pháp
731 pre-training.

4 Kết luận

Nghiên cứu này đã hoàn thành hai mục tiêu cốt lõi:
(1) làm chủ và đánh giá kiến trúc Transformer cơ
bản thông qua việc tái hiện và so sánh các biến thể
kỹ thuật, và (2) tối ưu hóa mô hình cho bài toán
dịch thuật chuyên ngành hép thông qua chiến lược
thích nghi miền (Domain Adaptation).

Tổng hợp các kết quả thực nghiệm từ Bài 1 cho
thấy, kiến trúc Transformer với cơ chế Scaled Dot-
Product Attention không chỉ đạt hiệu năng dịch
thuật cao hơn mà còn thể hiện tính ổn định tốt
hơn trong quá trình hội tụ so với cơ chế Luong
Attention truyền thống. Chúng tôi cũng quan sát
thấy mối tương quan thuận rõ rệt giữa kích thước
dữ liệu huấn luyện và chất lượng dịch; tuy nhiên,
hiệu suất biến có xu hướng giảm dần và tiềm cận
ngưỡng bão hòa khi dữ liệu đạt quy mô khoảng 700
nghìn cặp câu.

Trong Bài 2, việc giải quyết bài toán dịch máy
y tế (VLSP) đã làm nổi bật vai trò then chốt của
phương pháp Transfer Learning (Học chuyển tiếp).
Chiến lược huấn luyện tận dụng tri thức từ tập dữ
liệu lớn ViPubMed trước khi fine-tune trên tập dữ
liệu đích đã đạt 46.57 điểm BLEU và 0.86 điểm
COMET, chứng minh hiệu quả vượt trội so với
baseline. Mô hình không chỉ cải thiện về các chỉ số
định lượng (BLEU, COMET) mà còn thể hiện khả
năng "hiểu" ngữ cảnh y khoa sâu sắc hơn, dịch chính
xác các thuật ngữ chuyên môn phức tạp (như "nhồi
máu cơ tim", "bệnh phổi tắc nghẽn mạn tính") thay
vì dịch theo nghĩa đen hoặc sai lệch.

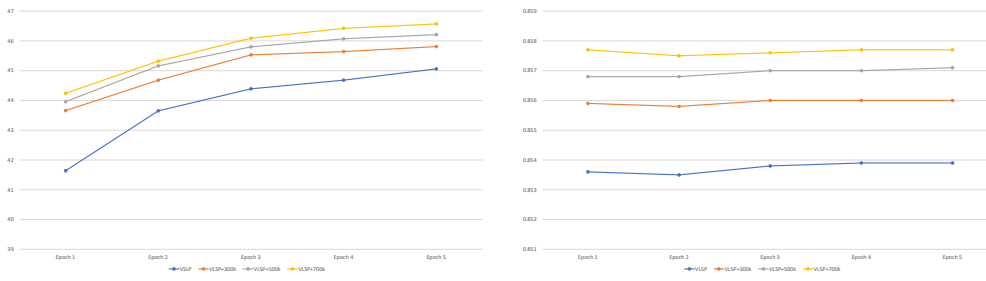
References

Peter F. Brown, Stephen A. Della Pietra, Vincent J.
Della Pietra, and Robert L. Mercer. 1993. The
mathematics of statistical machine translation:

Bảng 3: Kết quả fine-tune của trên bộ dữ liệu VLSP

Dataset	BLEU	COMET
VLSP	45.06	0.85
VLSP+300k	45.81	0.86
VLSP+500k	46.21	0.86
VLSP+700k	46.57	0.86

In đậm thể hiện điểm cao nhất



(a) Điểm BLEU trên từng epoch, trên các cách huấn luyện

(b) Điểm COMET trên từng epoch, trên các cách huấn luyện

Hình 5: Phân tích điểm số đạt được của mô hình theo từng epoch

Parameter estimation. *Computational Linguistics*, 19(2):263–311.

Jacob Devlin, Ming-Wei Chang, Kenton Lee, and Kristina Toutanova. 2019. **BERT: Pre-training of deep bidirectional transformers for language understanding.** In *Proceedings of the 2019 Conference of the North American Chapter of the Association for Computational Linguistics: Human Language Technologies, Volume 1 (Long and Short Papers)*, pages 4171–4186, Minneapolis, Minnesota. Association for Computational Linguistics.

Long Doan, Linh The Nguyen, Nguyen Luong Tran, Thai Hoang, and Dat Quoc Nguyen. 2021. **PhoMT: A high-quality and large-scale benchmark dataset for Vietnamese-English machine translation.** In *Proceedings of the 2021 Conference on Empirical Methods in Natural Language Processing*, pages 4495–4503, Online and Punta Cana, Dominican Republic. Association for Computational Linguistics.

Suchin Gururangan, Ana Marasović, Swabha Swayamdipta, Kyle Lo, Iz Beltagy, Doug Downey, and Noah A. Smith. 2020. **Don’t stop pretraining: Adapt language models to domains and tasks.** In *Proceedings of the 58th Annual Meeting of the Association for Computational Linguistics*, pages 8342–8360, Online. Association for Computational Linguistics.

Yinhan Liu, Jiatao Gu, Naman Goyal, Xian Li, Sergey Edunov, Marjan Ghazvininejad, Mike Lewis, and Luke Zettlemoyer. 2020. **Multilingual denoising pre-training for neural machine translation.** *Transactions of the Association for Computational Linguistics*, 8:726–742.

Ibomoije Domor Mienye, Theo G Swart, and George Obaido. 2024. Recurrent neural networks: A comprehensive review of architectures, variants, and applications. *Information*, 15(9):517.

Kishore Papineni, Salim Roukos, Todd Ward, and Wei-Jing Zhu. 2002. **Bleu: a method for automatic evaluation of machine translation.** In *Proceedings of the 40th Annual Meeting of the Association for Computational Linguistics*, pages 311–318, Philadelphia, Pennsylvania, USA. Association for Computational Linguistics.

Long Phan, Tai Dang, Hieu Tran, Trieu H. Trinh, Vy Phan, Lam D. Chau, and Minh-Thang Luong. 2023. **Enriching biomedical knowledge for low-resource language through large-scale translation.** In *Proceedings of the 17th Conference of the European Chapter of the Association for Computational Linguistics*, pages 3131–3142, Dubrovnik, Croatia. Association for Computational Linguistics.

Ricardo Rei, Craig Stewart, Ana C Farinha, and Alon Lavie. 2020. **COMET: A neural framework for MT evaluation.** In *Proceedings of the 2020 Conference on Empirical Methods in Natural Language Processing (EMNLP)*, pages 2685–2702, Online. Association for Computational Linguistics.

Ashish Vaswani, Noam Shazeer, Niki Parmar, Jakob Uszkoreit, Llion Jones, Aidan N Gomez, Łukasz Kaiser, and Illia Polosukhin. 2017. Attention is all you need. *Advances in neural information processing systems*, 30.

A Appendix A

Bảng A trình bày một số ví dụ minh họa sự khác biệt của hai chiến lược giải mã phổ biến trong mô

833 hình Transformer, bao gồm Greedy Search và Beam
834 Search với kích thước chùm $k=5$. Thông qua các ví
835 dụ này, có thể quan sát rõ rằng Beam Search nhìn
836 chung cho kết quả dịch tốt hơn Greedy Search xét
837 trên các tiêu chí về độ trôi chảy, tính tự nhiên cũng
838 như mức độ mạch lạc của câu sinh ra.

839 Cụ thể, Greedy Search tại mỗi bước chỉ lựa chọn
840 từ có xác suất cao nhất mà không xét đến ảnh hưởng
841 dài hạn của lựa chọn đó lên toàn bộ chuỗi đầu ra.
842 Cách tiếp cận mang tính cục bộ này khiến mô hình
843 dễ rơi vào các vòng lặp xác suất cao, dẫn đến hiện
844 tượng lặp từ hoặc lặp cụm từ không cần thiết, như
845 có thể thấy rõ ở một số ví dụ trong bảng (ví dụ các
846 câu chứa cụm “tôi luôn muốn” hoặc “cha mẹ” được
847 lặp lại nhiều lần). Những lỗi này làm giảm đáng
848 kể tính tự nhiên của câu dịch, mặc dù về mặt ngữ
849 nghĩa tổng thể câu vẫn có thể hiểu được.

850 Ngược lại, Beam Search duy trì đồng thời nhiều
851 giả thuyết dịch tiềm năng và đánh giá chúng dựa
852 trên xác suất tích lũy của toàn bộ chuỗi. Nhờ đó,
853 chiến lược này có khả năng tránh được các lựa chọn
854 ngắn hạn kém tối ưu mà Greedy Search thường mắc
855 phải. Khi một nhánh giải mã có xu hướng lặp hoặc
856 suy giảm chất lượng, các nhánh khác trong chùm
857 tìm kiếm vẫn có thể được giữ lại và tiếp tục phát
858 triển, giúp mô hình lựa chọn được câu hoàn chỉnh
859 hơn ở bước cuối. Điều này thể hiện rõ qua các kết
860 quả dịch bằng Beam Search trong bảng, khi các
861 câu đầu ra thường ngắn gọn hơn, ít lặp từ, có cấu
862 trúc ngữ pháp rõ ràng và sát với cách diễn đạt tự
863 nhiên của tiếng Việt.

864 Ngoài ra, Beam Search còn cho thấy ưu thế trong
865 việc xác định điểm kết thúc câu hợp lý. Trong nhiều
866 trường hợp, Greedy Search tiếp tục sinh thêm từ dù
867 nội dung câu đã hoàn chỉnh, trong khi Beam Search
868 có xu hướng dừng đúng thời điểm, góp phần cải
869 thiện tính súc tích và mạch lạc của bản dịch. Điều
870 này đặc biệt quan trọng đối với các tác vụ dịch
871 máy, nơi mà việc sinh ra câu quá dài hoặc dư thừa
872 thông tin có thể làm giảm chất lượng tổng thể của
873 hệ thống.

874 Từ các phân tích trên, có thể kết luận rằng Beam
875 Search là chiến lược giải mã phù hợp hơn Greedy
876 Search trong bối cảnh dịch máy bằng Transformer,
877 đặc biệt khi yêu cầu cao về tính tự nhiên, độ trôi
878 chảy và khả năng tránh lặp trong câu sinh ra.

879 **B Appendix B**

880 Bảng **B** trình bày một số ví dụ minh họa sự khác
881 biệt giữa hai cách huấn luyện mô hình dịch máy
882 trong miền y tế, bao gồm (i) dùng thẳng mô hình để

883 dịch và (ii) fine-tune mô hình trên tập ViPubMed
884 trước, sau đó tiếp tục fine-tune trên VLSP. Thông
885 qua các ví dụ cụ thể, có thể quan sát rõ ảnh hưởng
886 của quá trình huấn luyện trung gian trên dữ liệu y
887 sinh chuyên ngành đối với chất lượng bản dịch từ
888 tiếng Anh sang tiếng Việt.

889 Xét tổng thể, phương pháp dịch trực tiếp cho
890 kết quả dịch tương đối chính xác về mặt ý nghĩa,
891 tuy nhiên trong nhiều trường hợp vẫn còn tồn tại
892 các hạn chế liên quan đến việc lựa chọn thuật ngữ
893 chuyên ngành, cách diễn đạt chưa thực sự tự nhiên,
894 cũng như sự thiếu nhất quán trong việc sử dụng các
895 cụm từ y khoa quen thuộc trong tiếng Việt. Điều
896 này xuất phát từ việc kích thước và mức độ bao
897 phủ thuật ngữ của tập VLSP còn hạn chế, khiến mô
898 hình khó học được đầy đủ các biểu thức đặc thù
899 của miền y tế.

900 Ngược lại, khi mô hình được fine-tune trước trên
901 tập ViPubMed - một tập dữ liệu lớn và giàu ngữ
902 cảnh y sinh - trước khi tiếp tục fine-tune trên VLSP,
903 chất lượng bản dịch cho thấy sự cải thiện rõ rệt. Cụ
904 thể, các bản dịch trong cột thứ tư thường sử dụng
905 thuật ngữ y khoa chính xác và chuẩn hóa hơn, chẳng
906 hạn như “nhồi máu cơ tim cấp”, “đái tháo đường
907 típ 2”, “bệnh phổi tắc nghẽn mạn tính” hay “gây
908 mê toàn thân”, thay vì các cách diễn đạt mang tính
909 mô tả hoặc chưa hoàn toàn chuẩn thuật ngữ như
910 trong cột baseline. Việc sử dụng đúng thuật ngữ
911 không chỉ nâng cao độ chính xác chuyên môn mà
912 còn làm cho bản dịch phù hợp hơn với văn phong
913 của các tài liệu y khoa chính thống.

914 Ngoài độ chính xác về thuật ngữ, phương pháp
915 huấn luyện hai giai đoạn còn cho thấy ưu thế về
916 tính tự nhiên và tính mạch lạc của câu dịch. Các
917 bản dịch sau khi fine-tune qua ViPubMed thường
918 có cấu trúc câu rõ ràng, cách kết hợp từ ngữ tự
919 nhiên hơn và ít mang dấu vết của dịch từng từ. Ví
920 dụ, các cụm như “được gọi là một kẻ giết người
921 thảm lăng”, “sử dụng dịch truyền tĩnh mạch để điều
922 trị mất nước” hay “bác sĩ kê đơn kháng sinh phổ
923 rộng” thể hiện phong cách diễn đạt gần với ngôn
924 ngữ chuyên ngành được sử dụng trong thực hành
925 lâm sàng và các tài liệu y học tiếng Việt.

926 Kết quả này cho thấy quá trình fine-tune trung
927 gian trên ViPubMed đã giúp mô hình học được
928 không chỉ từ vựng chuyên ngành mà còn cả các
929 mẫu câu, cấu trúc diễn đạt và ngữ cảnh thường gặp
930 trong miền y sinh. Nhờ đó, khi tiếp tục fine-tune
931 trên VLSP, mô hình có thể nhanh chóng thích nghi
932 với đặc thù của tập dữ liệu mục tiêu trong khi vẫn
933 duy trì được kiến thức miền đã học trước đó. Cách
934 tiếp cận này giúp cải thiện đáng kể hiệu quả của

Bảng 4: Các ví dụ sử dụng Greedy Search và Beam Search ($k = 5$) trong mô hình Transformer

No.	Source	Greedy Search	Beam Search (k=5)
0	I have always wanted to do that.	Tôi luôn muốn làm điều đó, tôi luôn luôn muốn làm điều đó.	Tôi luôn muốn làm điều đó.
1	Today, I, as the mother of a six - year - old, walk into Barnes and Noble, and see this.	Hôm nay, tôi như mẹ của một đứa trẻ 6 tuổi đi vào Barnes và Noble, và xem đây, và thấy điều này.	Hôm nay, tôi như mẹ của một đứa trẻ 6 tuổi đi vào Barnes và Noble, và thấy điều này.
2	But taken together, I am sorry, I do not see help when I look at that shelf.	Nhưng tôi xin lỗi, tôi không thấy gì khi nhìn vào cái kệ đó.	Nhưng tôi xin lỗi, tôi không thấy sự giúp đỡ khi nhìn vào chiếc kệ đó.
3	Their marital satisfaction is lower.	Sự hài lòng hôn nhân của họ thấp hơn, thấp hơn, thấp hơn, hài lòng hôn nhân.	Thoả mãn hôn nhân của họ thấp hơn.
4	We provided food, clothing, shelter, and moral instruction to our kids, and they in return provided income.	Chúng tôi cung cấp thực ăn, cộng đồng và hướng dẫn đạo đức cho trẻ em, và chúng trả lại thu nhập, và cung cấp thu nhập cho chúng tôi, và chúng sẽ cung cấp cho chúng tôi, và chúng trả lại thu nhập.	Chúng tôi cung cấp thực phẩm, cộng đồng, và hướng dẫn đạo đức cho trẻ em, và chúng trả lại thu nhập, và trả lại thu nhập.
5	This was true even when I was young.	Điều này đúng ngay cả khi tôi còn nhỏ, tôi vẫn còn nhỏ	Điều này đúng ngay cả khi tôi còn trẻ.
6	I was even invited to speak at TED.	Tôi thậm chí được mời lên diễn tại TED. TED.	Thật chí chỉ tôi còn được mời nói tại TED. TED.
7	Guess what it was?	Đoán xem nó là gì ?	Đoán xem nó là gì ?
8	A child's happiness is a very unfair burden to place on a parent.	Trẻ em không hạnh phúc là một gánh nặng không công bằng để đặt lên cha mẹ, cha mẹ, cha mẹ, cha mẹ, cha mẹ, cha mẹ, con cái là một gánh nặng không công bằng.	Một đứa trẻ không hạnh phúc là một gánh nặng không công bằng đối với cha mẹ, cha mẹ, cha mẹ, cha mẹ là một gánh nặng không công bằng.
9	The weather in Hanoi is very beautiful today.	Thời tiết ở Hanoi rất đẹp ngày nay, ngày nay, thời tiết ở Hanoi rất đẹp.	Thời tiết ở Hanoi ngày hôm nay rất đẹp.

935 mô hình trong các bài toán dịch máy chuyên ngành.
936

937 Từ các ví dụ được trình bày trong bảng, có thể
938 kết luận rằng việc fine-tune mô hình trên một tập
939 dữ liệu y sinh lớn như ViPubMed trước khi huấn
940 luyện trên VLSP mang lại lợi ích rõ rệt so với việc
941 fine-tune trực tiếp trên VLSP. Phương pháp này
942 không chỉ cải thiện độ chính xác thuật ngữ mà còn
943 nâng cao tính tự nhiên và tính nhất quán của bản
944 dịch, qua đó góp phần nâng cao chất lượng tổng thể
của hệ thống dịch máy y tế.

Bảng 5: Các ví dụ minh họa về trước và sau khi fine-tune mô hình trên bộ VLSP

No.	Source	Baseline	Fine-tuned trên ViPubMed trước
0	The patient suffered from acute myocardial infarction.	Bệnh nhân bị viêm tim mạch.	Bệnh nhân bị nhồi máu cơ tim cấp.
1	She has a family history of type 2 diabetes mellitus.	Cô ấy có tiền sử gia đình loại 2 tiểu thuyết gia đình.	Bệnh nhân có tiền sử gia đình mắc đái tháo đường típ 2.
2	Chronic obstructive pulmonary disease is strictly linked to smoking.	Bệnh dai dẳng có liên quan đến việc hút thuốc.	Bệnh phổi tắc nghẽn mãn tính có liên quan chặt chẽ đến hút thuốc lá.
3	The biopsy results confirmed a malignant tumor in the liver.	Kết quả xét nghiệm cho thấy có một khối u ở gan.	Kết quả sih thiết xác nhận u ác tính ở gan.
4	Hypertension is often referred to as a silent killer.	Áp lực thường được gọi là kẻ giết người im lặng.	Tăng huyết áp thường được gọi là một kẻ giết người thầm lặng.
5	Common symptoms include high fever, dry cough, and fatigue.	Những triệu chứng thông thường như sốt cao, ho khô và mệt mỏi	Các triệu chứng gấp bao gồm sốt cao, ho khan và mệt mỏi.
6	The doctor prescribed broad-spectrum antibiotics for the respiratory infection.	Khám nghiệm kháng sinh phổ rộng kháng sinh kháng sinh cho nhiễm trùng hô hấp	Bác sĩ kê đơn kháng sinh phổ rộng để điều trị nhiễm trùng hô hấp.
7	He was hospitalized due to acute renal failure?	Ông ấy bị suy giảm nghiêm trọng.	Bệnh nhân nhập viện vì suy thận cấp.
8	Intravenous fluids were administered to treat severe dehydration	Các chất lỏng không thấm đã được chữa trị nghiêm trọng.	Sử dụng dịch truyền tĩnh mạch để điều trị mất nước.
9	The surgery was performed under general anesthesia.	Cuộc phẫu thuật được thực hiện dưới chế độ tổng quát.	Phẫu thuật được thực hiện dưới gây mê toàn thân.